

中性子過剰核の電気双極子応答と核物質の状態方程式

梶野 泰宏

東京工業大学

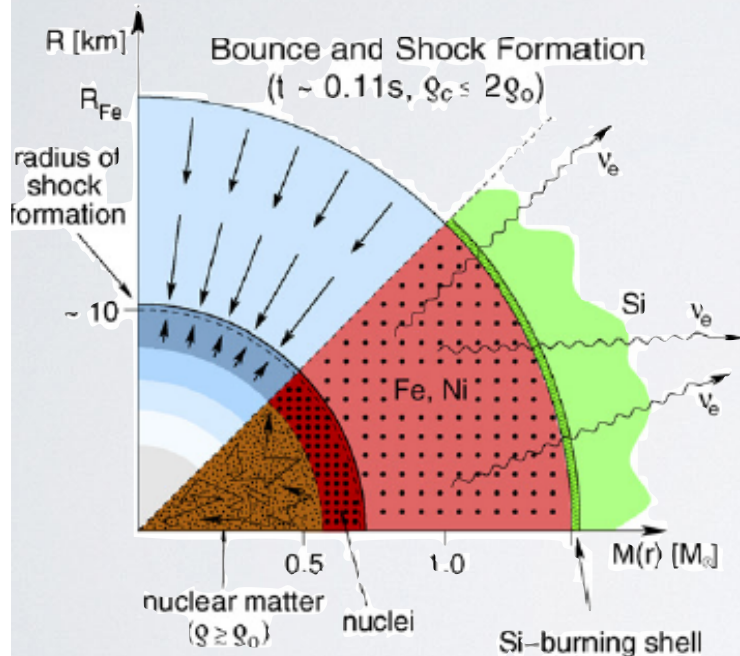


状態方程式と天体現象

$$\frac{E}{A}(\rho, \delta) = \frac{E}{A}(\rho, 0) + E_{sym}(\rho)\delta^2 + O(\delta^4)$$

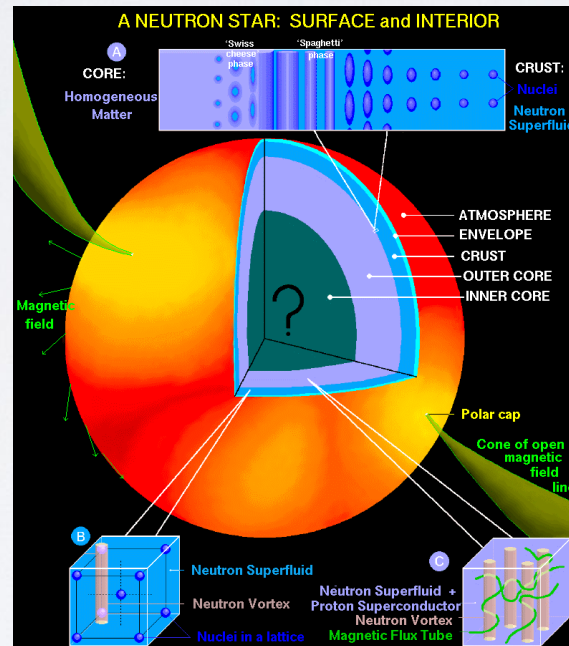
$$\delta = \frac{\rho_n - \rho_p}{\rho_n + \rho_p} \simeq \frac{N - Z}{A}$$

Core collapse supernovae



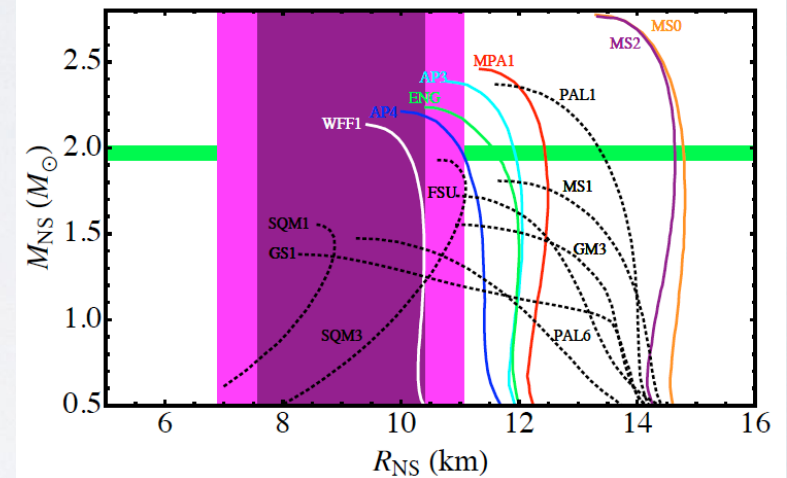
H.-Th. Janka et al., Phys. Rep. 442, 38 (2007)

Neutron star structure



http://www.astroscu.unam.mx/neutrones/NS-Picture/NStar/NStar_1.gif

Neutron star R vs Mass



S. Guillot et al., arXiv, 1302.0023

核物質の状態方程式

$$\frac{E}{A}(\rho, \delta) = \frac{E}{A}(\rho, 0) + E_{sym}(\rho) \delta^2 + O(\delta^4)$$

$$\frac{E}{A}(\rho, 0) = \frac{E}{A}(\rho_0) + \frac{K_\infty}{2} x^2 + \dots$$

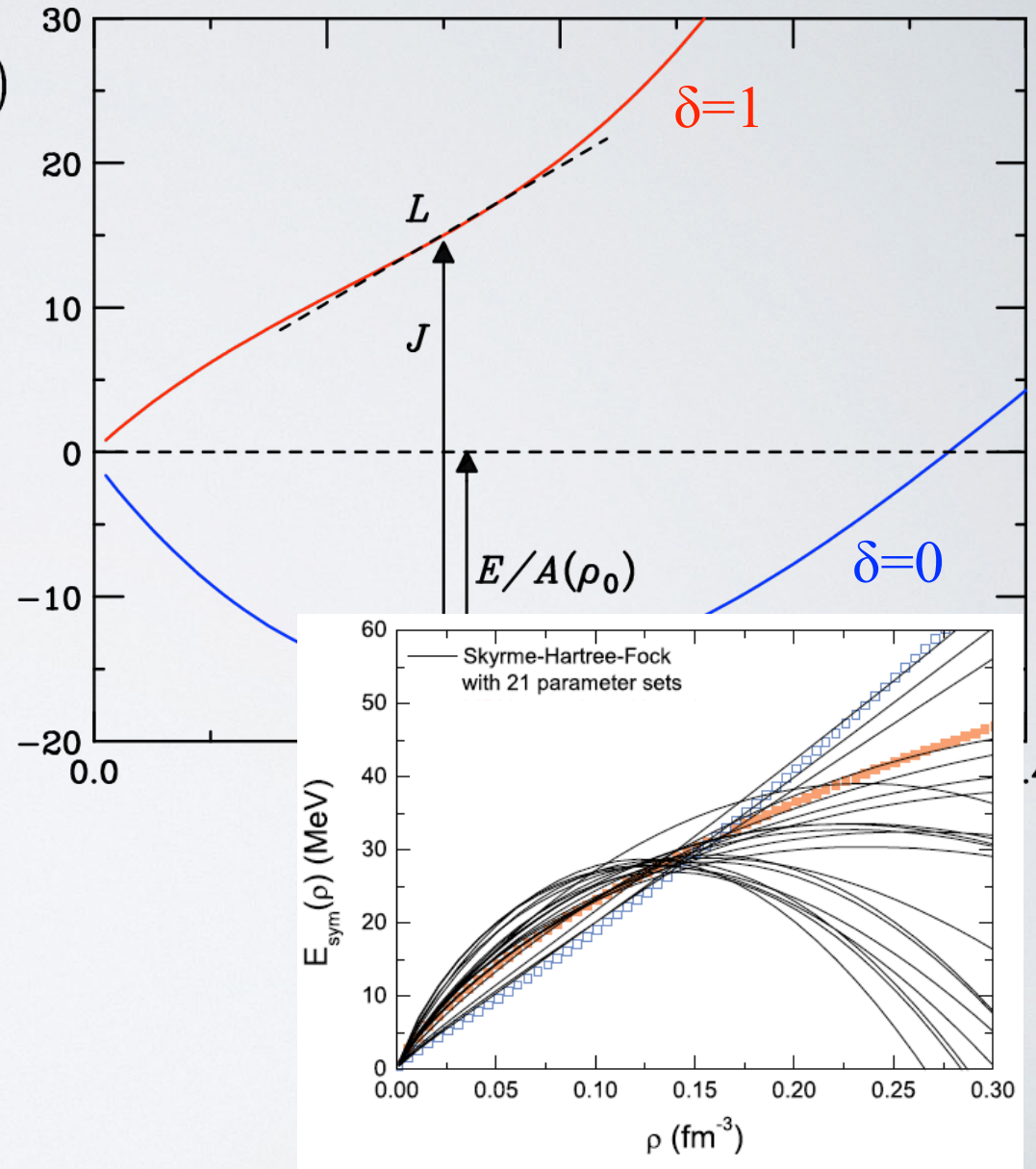
$$E_{sym}(\rho) = J + Lx + \frac{K_{sym}}{2} x^2 + \dots$$

$$\delta = \frac{\rho_n - \rho_p}{\rho_n + \rho_p} \simeq \frac{N - Z}{A}, \quad x = \frac{\rho - \rho_0}{3\rho_0}$$

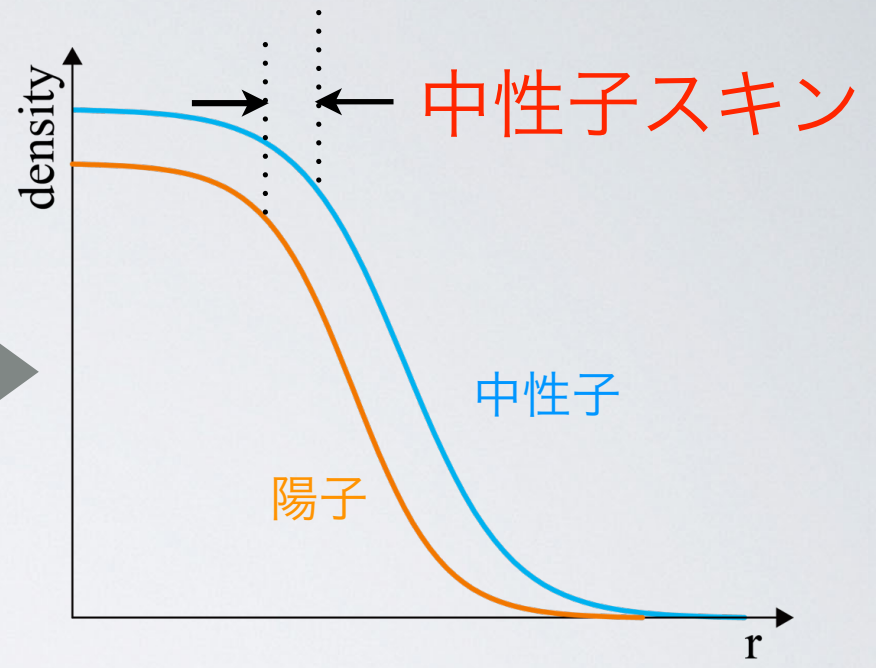
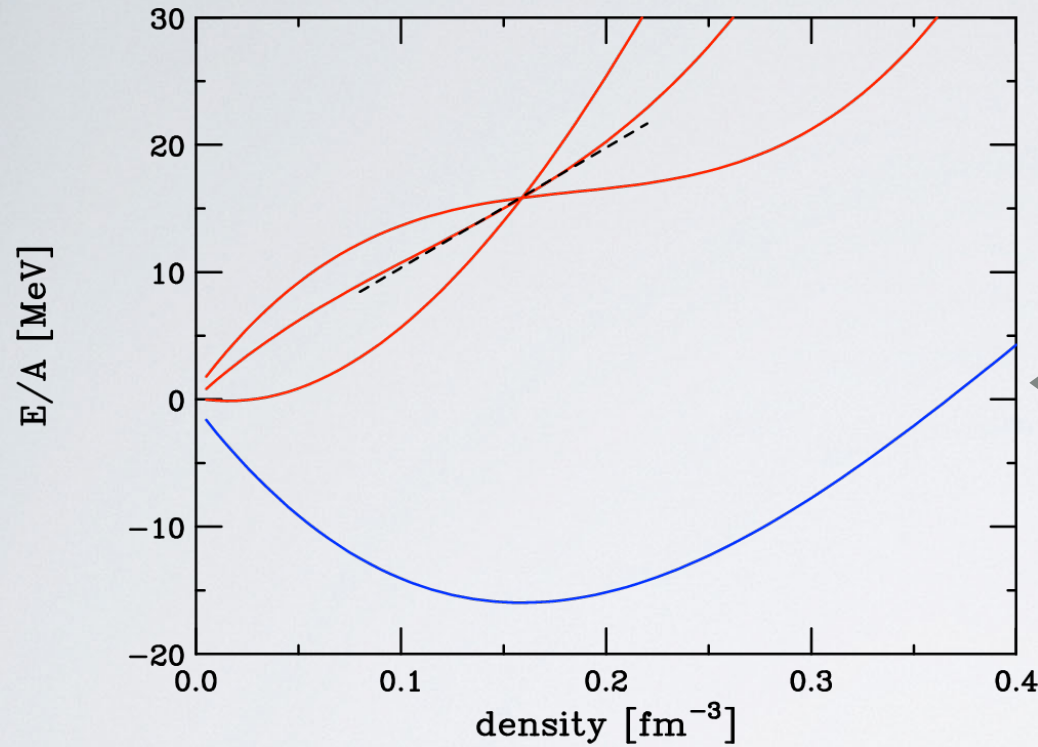
$$\frac{E}{A}(\rho_0) \sim 16 \text{ MeV}$$

$$J \sim 32 \text{ MeV} \quad \text{B. Tsang et al. PRC 86, 015803 (2012).}$$

- L: 不定性が大きい

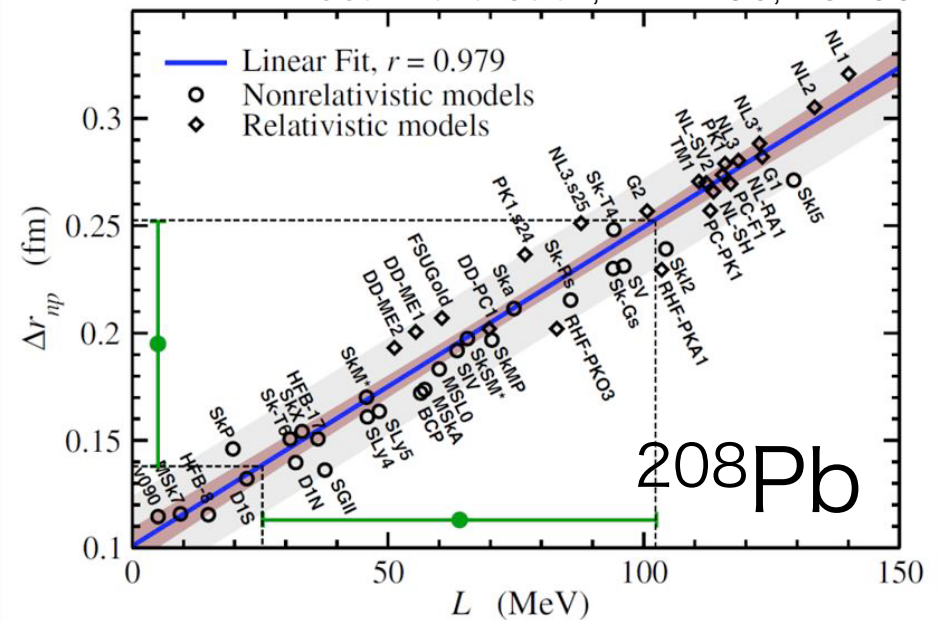


対称エネルギーの密度依存性と中性子スキン

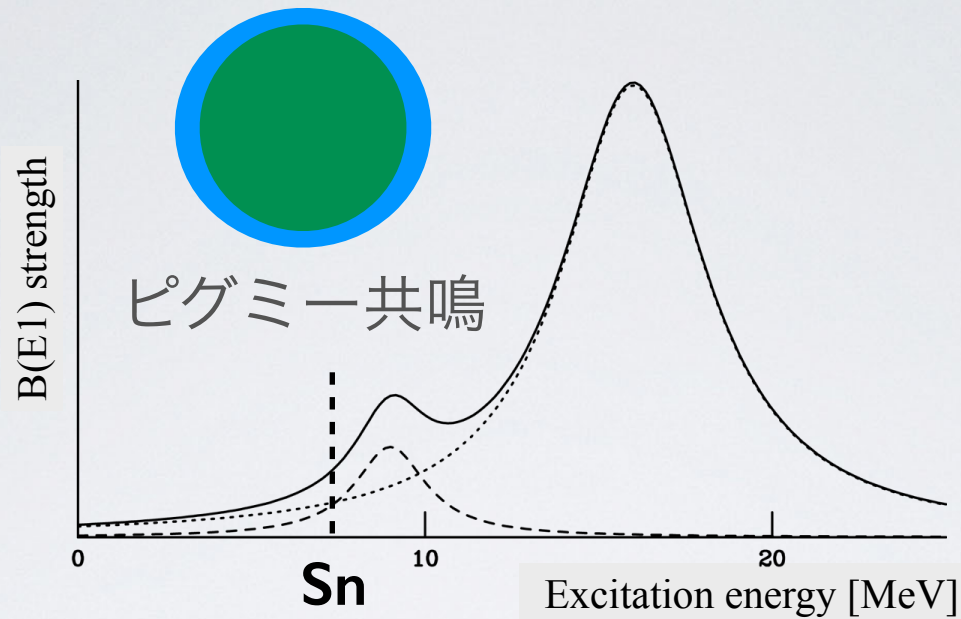


Large $L \rightarrow$ Small E_{sym} in low- ρ
 \rightarrow Thick n -skin

Roca-Maza et al., PRL 106, 252501

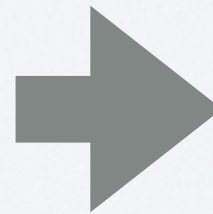


中性子過剰核のE1応答



(n, γ) 反応率 \rightarrow r-process

- ピグミー共鳴(PDR)
 - $E_x \sim 10$ MeV, $\sim 5\%$ of EWSR
- 巨大双極子共鳴
 - $E_x \sim 15$ MeV, $\sim 100\%$ of EWSR

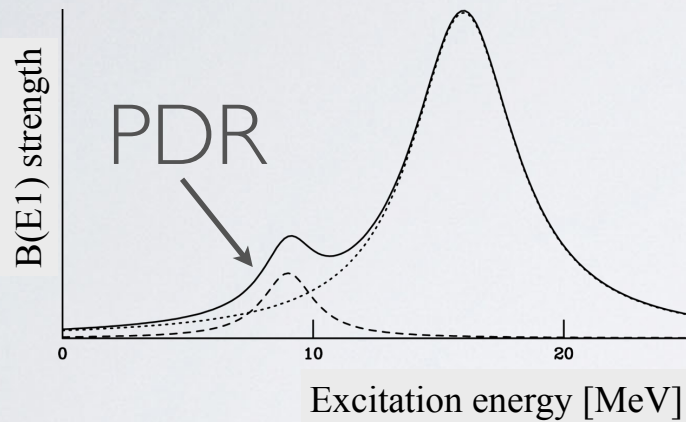


中性子スキン、
対称エネルギーの
密度依存性

E1応答-対称エネルギー-スキン厚

$$\frac{E}{A}(\rho, \delta) = \frac{E}{A}(\rho, 0) + E_{sym}(\rho)\delta^2 + O(\delta^4)$$

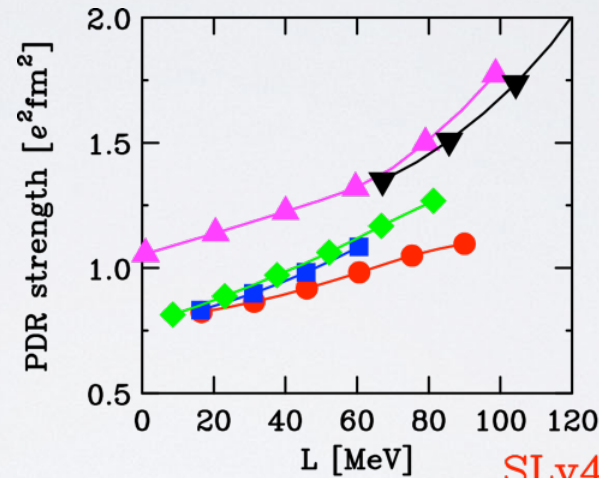
$$E_{sym}(\rho) = J + Lx + \frac{K_{sym}}{2}x^2 + \dots$$



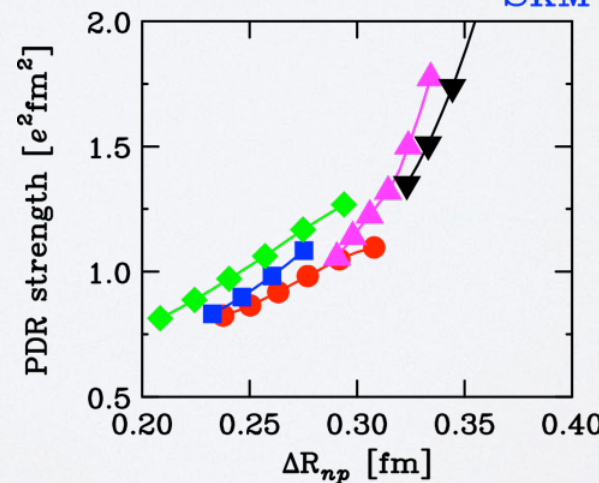
• PDR強度

• 双極子分極度 α_D

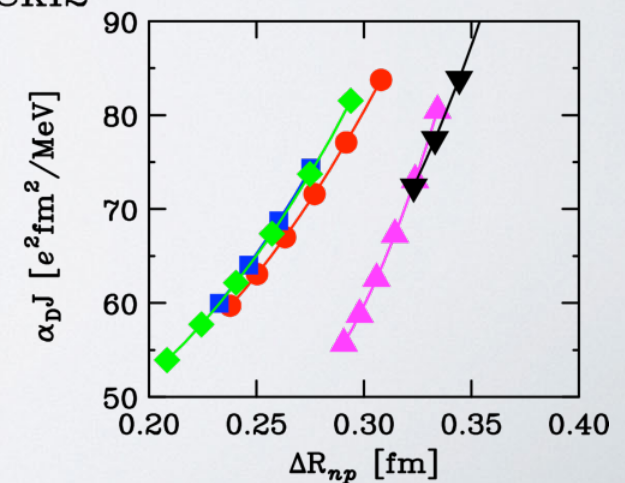
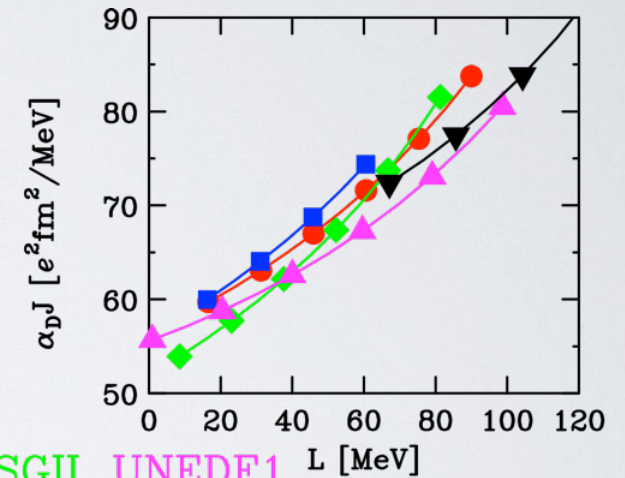
$$\alpha_D = \frac{8\pi}{9} \int \frac{dB(E1)}{\omega}$$



SLy4 SGII UNEDF1
SkM* SkI2

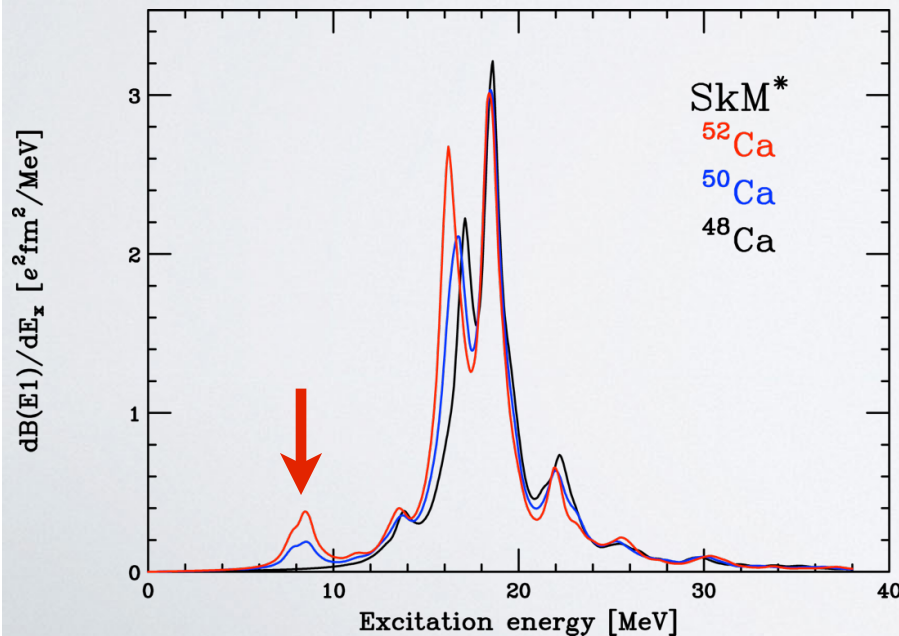
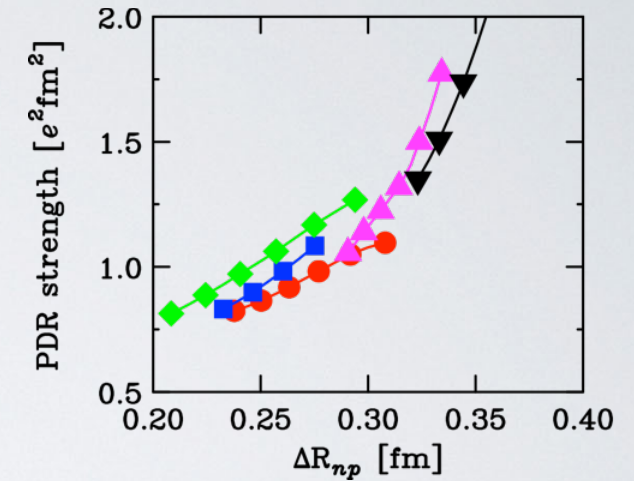
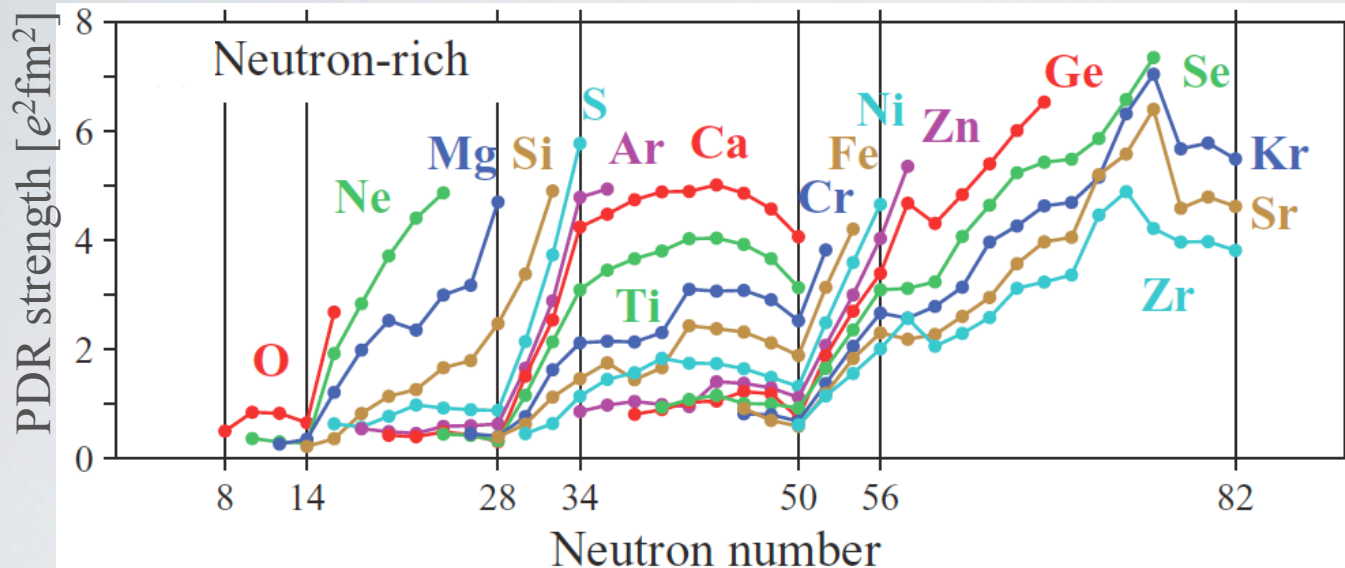


T. Inakura, private communication
 ^{52}Ca のRPA計算



PDR強度の同位体依存性

- 48-54Ca: 急激なPDR強度の増大 T. Inakura et al., PRC84, 021302 (2011)



48-52CaのEI応答測定

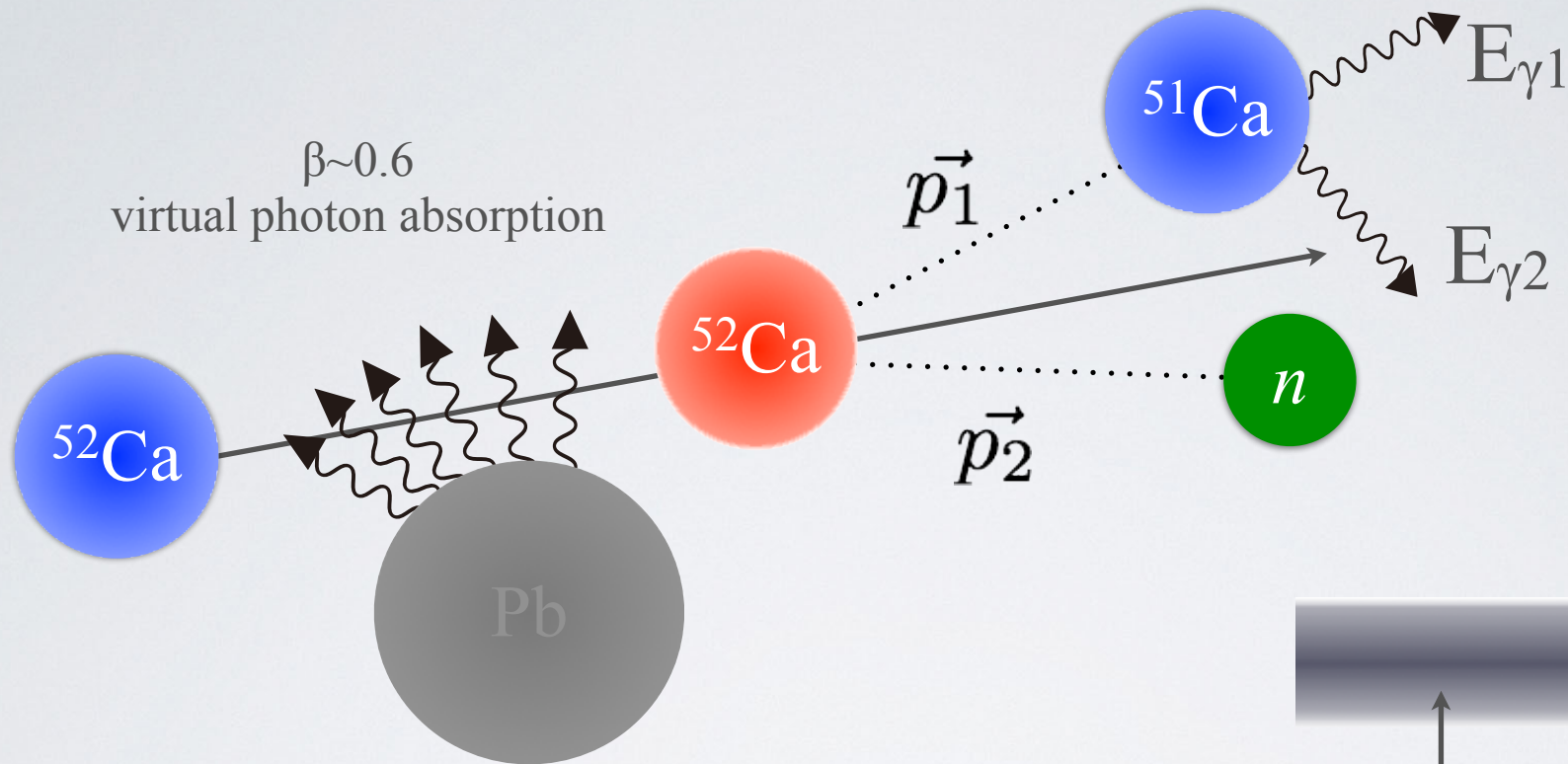
→ PDRの進化

→ 2p軌道におけるスキンの進化

→ Lの制限

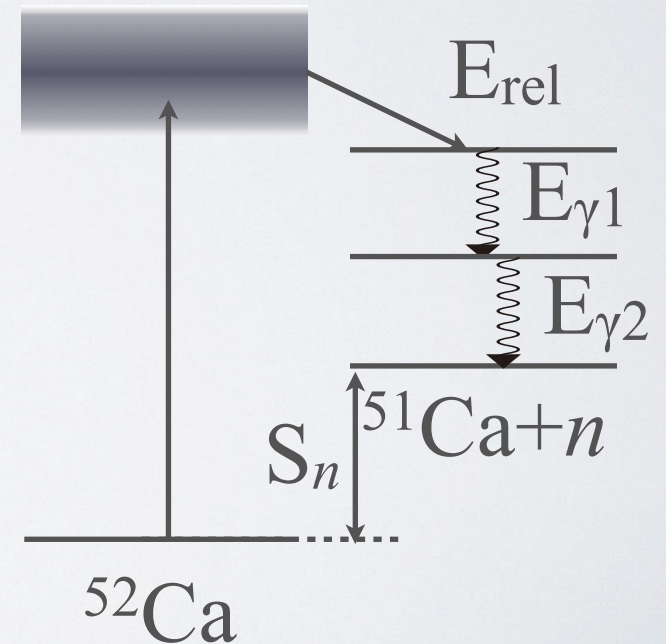
SAMURAIで実験

クーロン励起と不変質量法

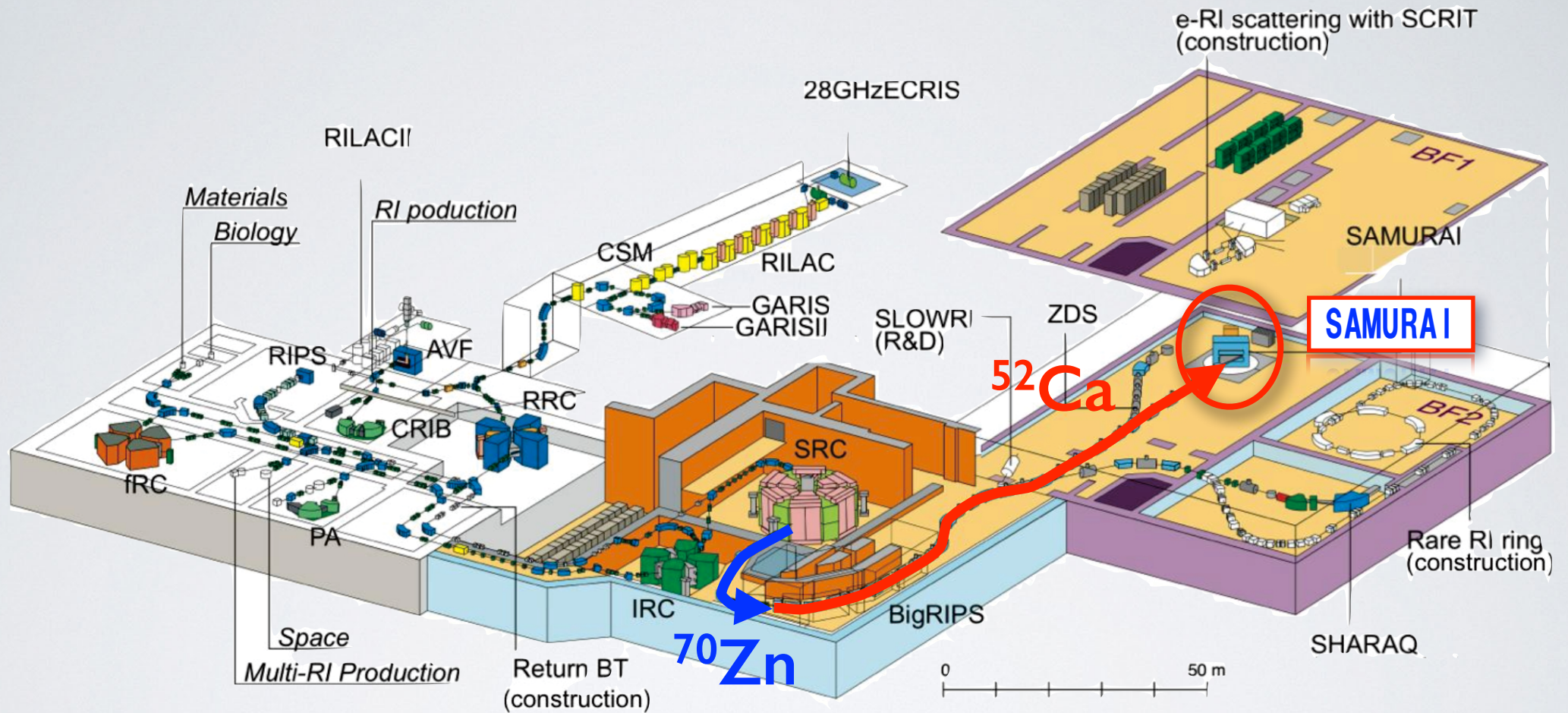


$$E_{rel} = \sqrt{\left(\sum E_i\right)^2 + \left(\sum \vec{p}_i\right)^2} - (m_{^{51}\text{Ca}} + m_n)$$

$$E_x = E_{rel} + S_n + \sum E_{\gamma i}$$

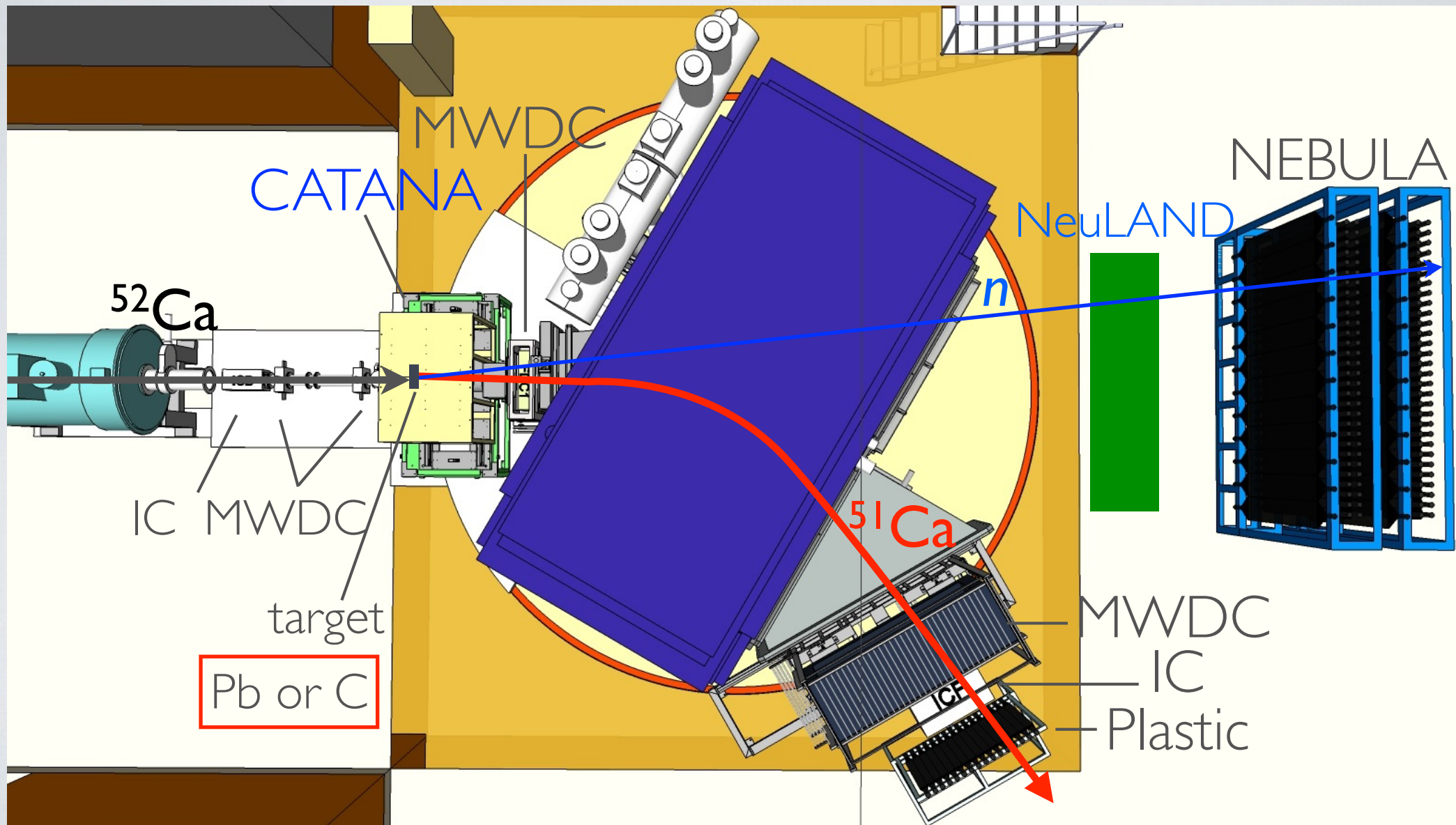


理研仁科センター

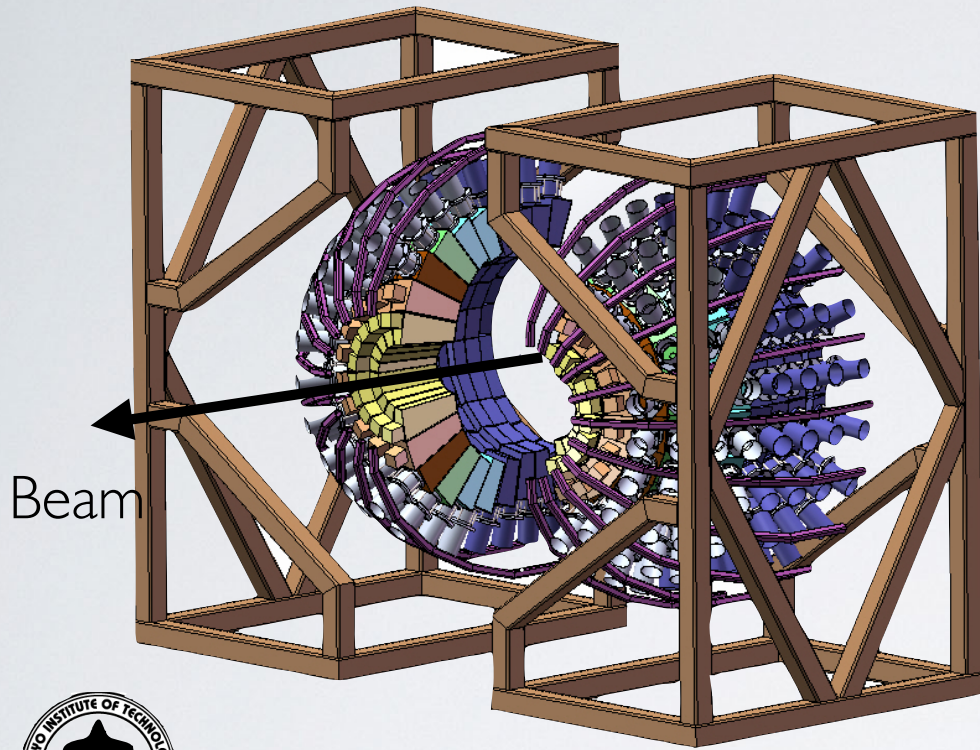


1次ビーム ^{70}Zn @ 345 MeV/nucleon
→ 2次ビーム $^{48,50,52}\text{Ca}$ ($10^2 \sim 10^4$ cps)

SAMURAI

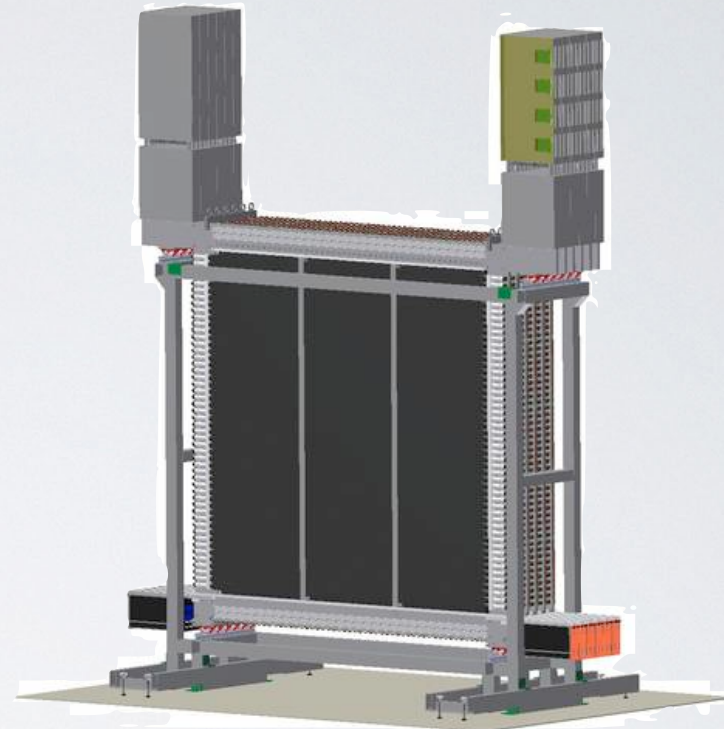


追加される検出器



CATANA

- 200 CsI(Na) detectors
- thickness: 9.5 ~ 15 cm
- Photo peak efficiency
 - 56% for 1 MeV
- 2015年夏完成予定



NeuLAND



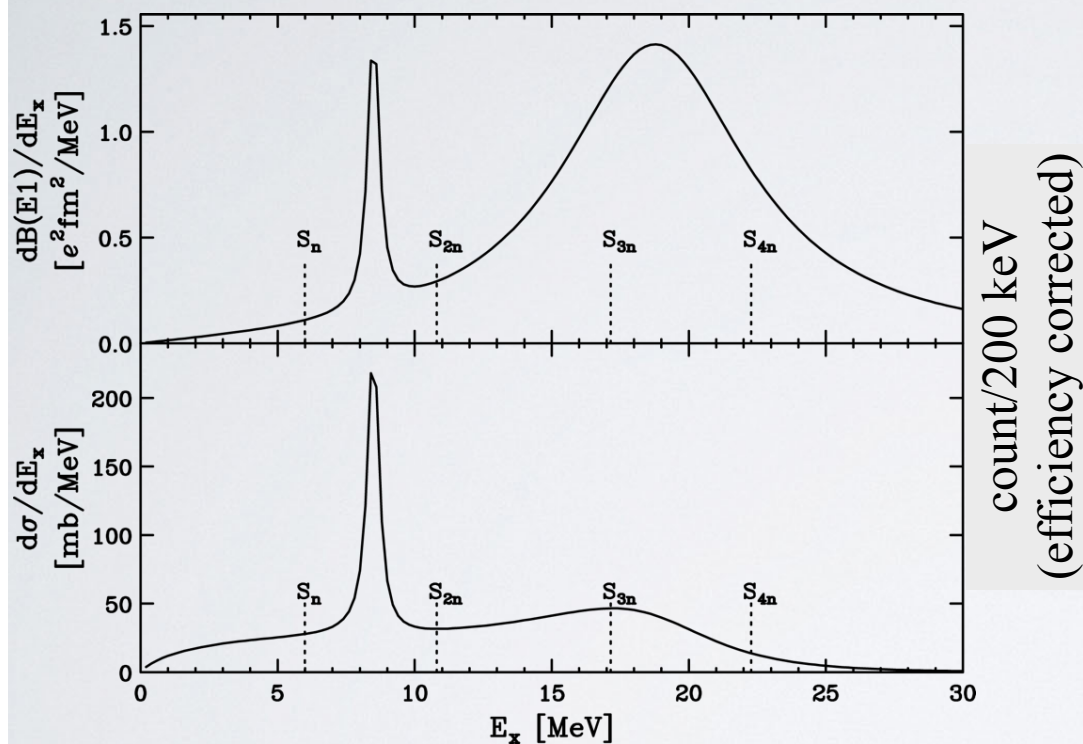
- 400 plastic scintillator bar
 - 5 x 5 x 250 cm³
- one neutron detection efficiency with NEBULA

実験は2015年夏以降を予定

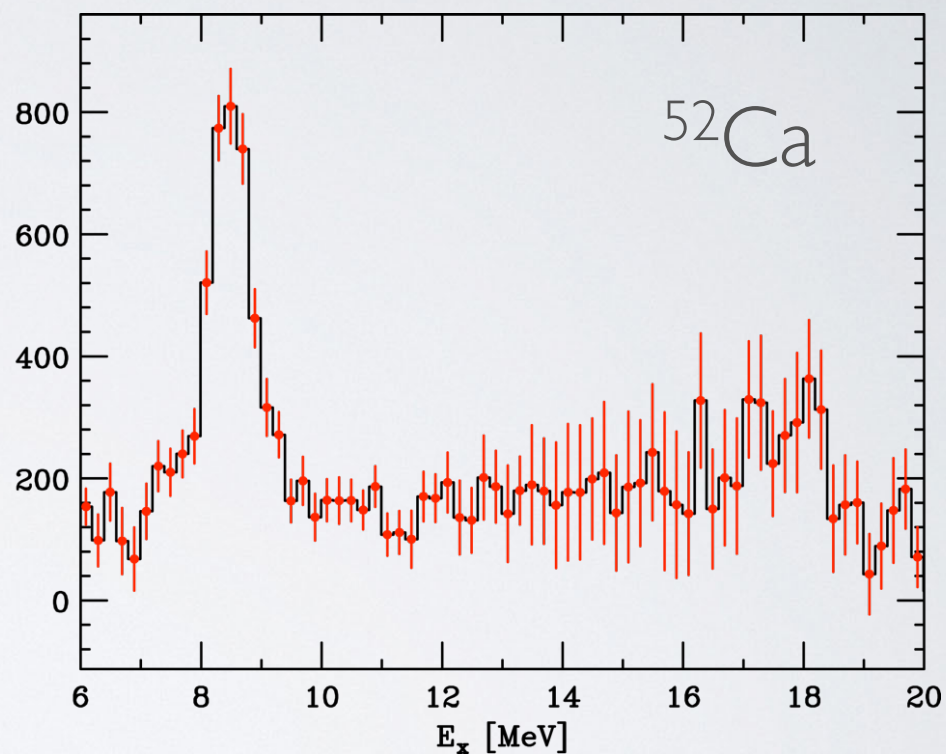
- Commission: October, 2014@GSI

励起エネルギーの再構成

- B(E1)分布: PDR + GDR



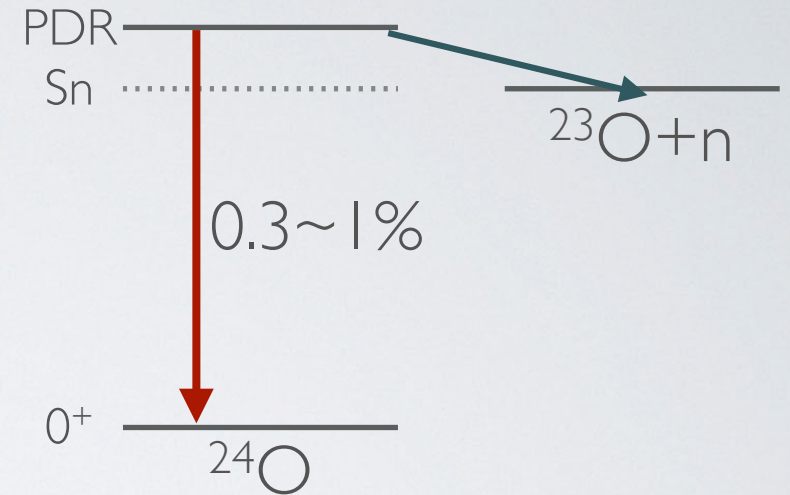
Simulation



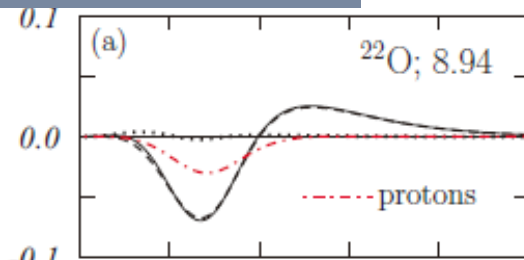
- 検出器の分解能を含んでいる

γ spectroscopy for PDR

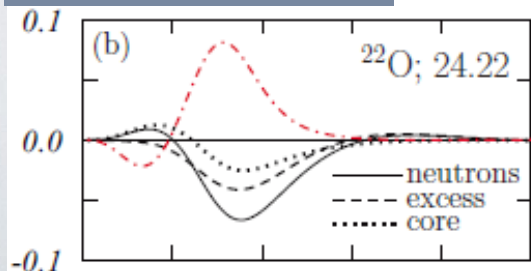
- $^{20,22,24}\text{O}$: ($\alpha, \alpha'\gamma$) and Coulex: H. Baba
- $^{70,72}\text{Ni}$: Coulex: O. Wieland
- $^{124,128,132}\text{Sn}$: ($\alpha, \alpha'\gamma$): T. Aumann



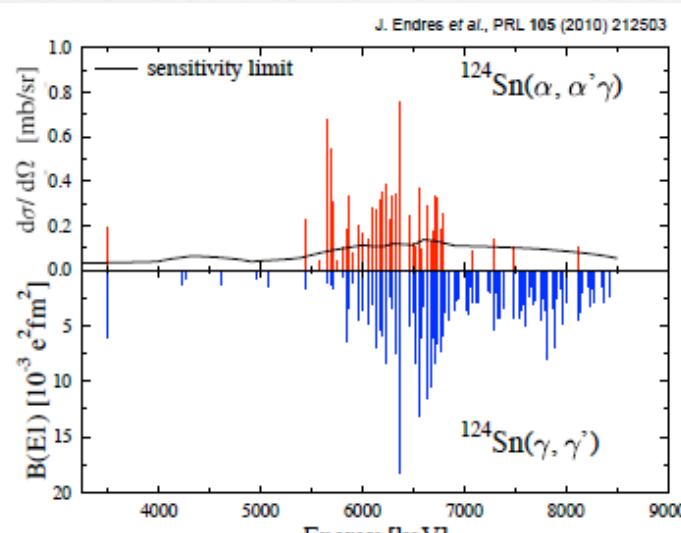
^{22}O PDR: IS



^{22}O GDR: IV

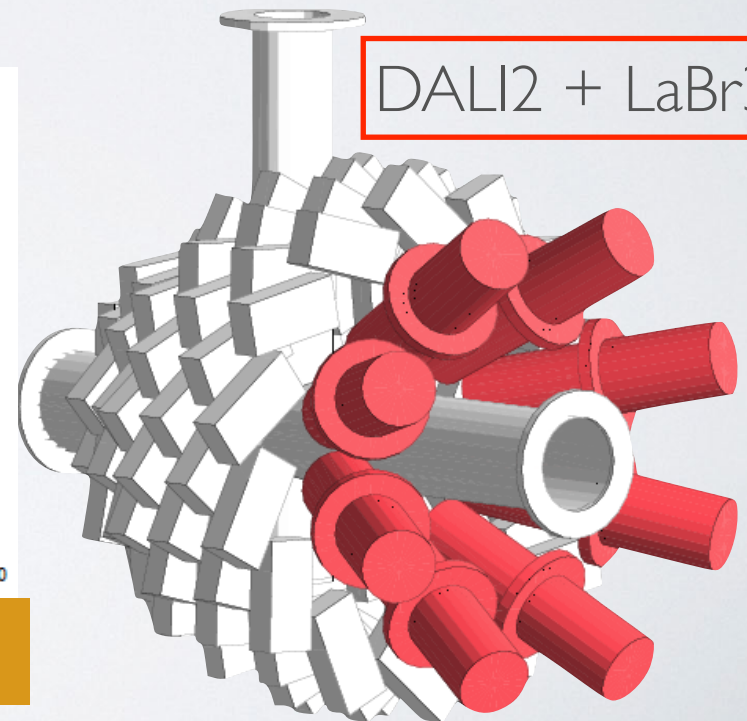


G. Co' et al., PRC 87,034305 (2013).

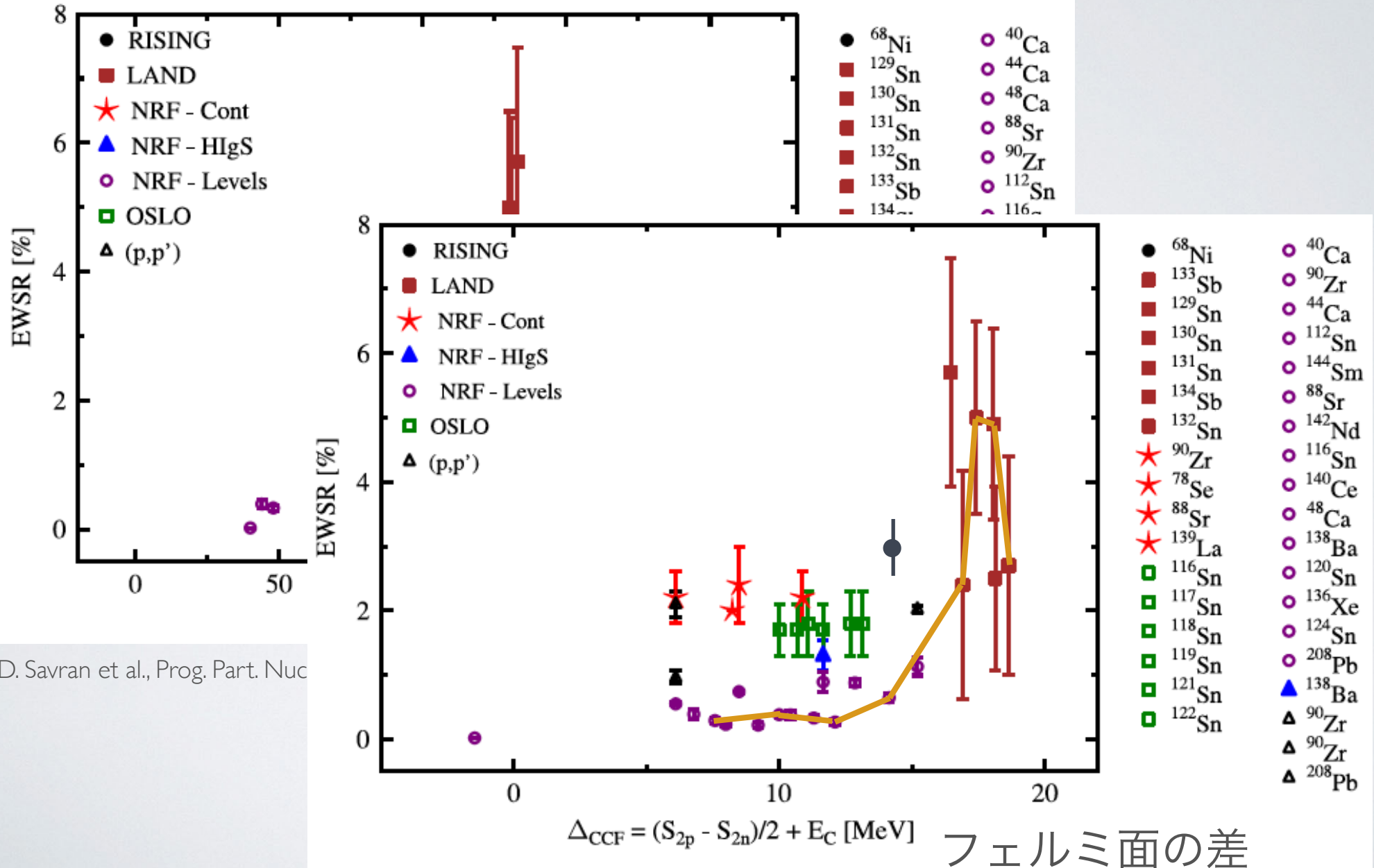


実験は2014年秋？

DALI2 + LaBr3



PDRの現状



D. Savran et al., Prog. Part. Nuc

まとめと今後の展望

- $^{48,50,52}\text{Ca}$ のEI応答測定 → PDRの進化、skin厚、EOS
 - SAMURAI + CATANA + NeuLAND
 - 7日間のビームタイムを獲得 → 2015年
- γ 線分光によるPDR測定実験

- IsovectorとIsoscaler成分

- 系統的測定

- Ca, Ni, Sn同位体

